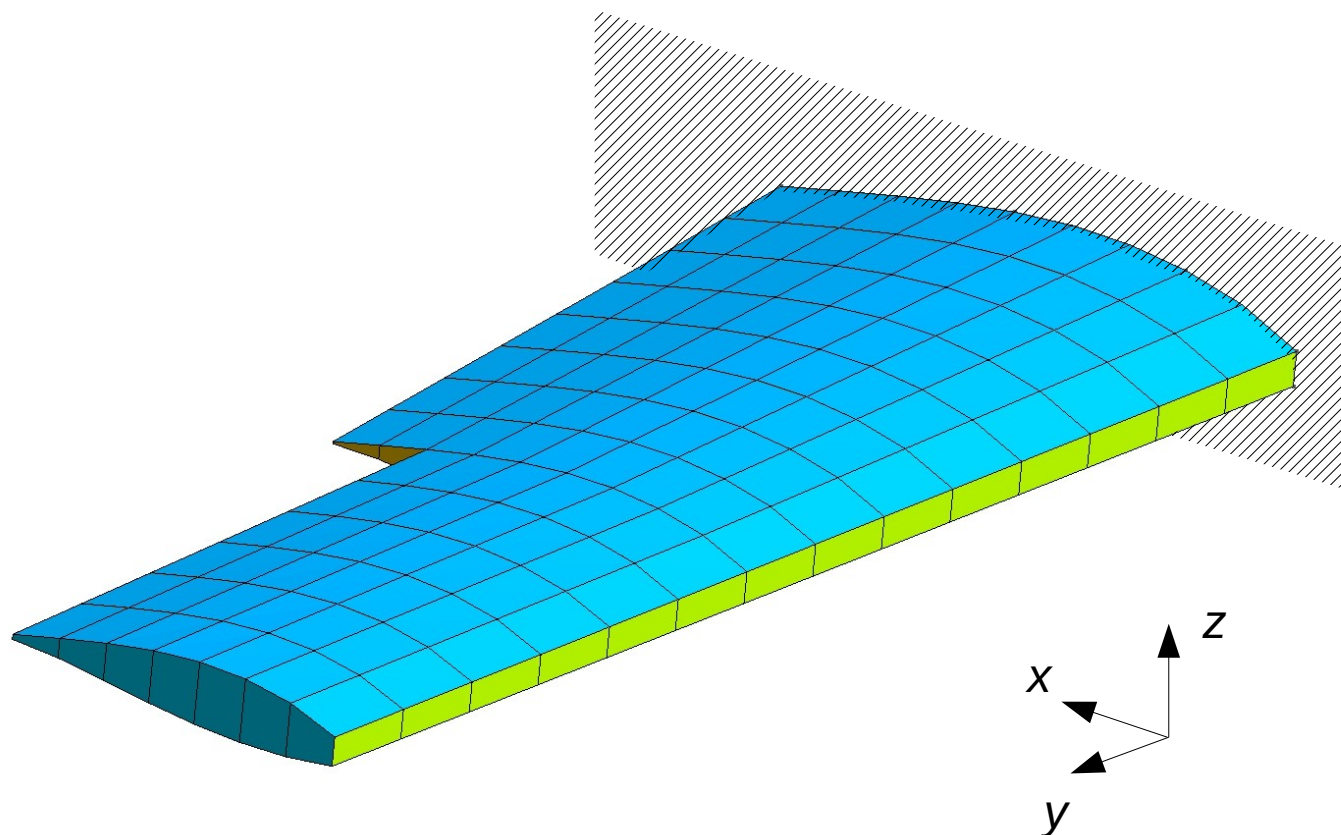


1. Der eingespannte Flügel



1. Der eingespannte Flügel

- Am an der Flügelwurzel eingespannten Flügel lassen sich folgende Phänomene untersuchen:
 - Aerodynamische Lasten am verformten Flügel
 - Querruderwirksamkeit
 - Statische Divergenz
 - Einfluss der Pfeilung
- Da keine Starrkörperverschiebungen auftreten können, ist die Untersuchung des eingespannten Flügels einfacher als die Untersuchung des gesamten Flugzeugs.

1. Der eingespannte Flügel

1.1 Grundgleichungen

1.2 Aerodynamische Lasten

1.3 Splines

1.4 Beispiel

1.1 Grundgleichungen

- Statisches Gleichgewicht:

- Das elastische Verhalten des Flügels wird durch ein Finite-Elemente-Modell beschrieben.
- Die elastischen Kräfte sind im Gleichgewicht mit den äußeren Kräften:

$$[K_{LL}][u_L] = [l_L^0] + [l_L^A]$$

- Matrix $[l_L^0]$ beschreibt die Lasten, die nicht von der Strömung abhängen, z. B. die Gewichtskraft.
- Matrix $[l_L^A]$ beschreibt die aerodynamischen Lasten.

1.1 Grundgleichungen

- Aerodynamische Lasten:
 - Die aerodynamischen Lasten hängen vom Anstellwinkel, den Klappenwinkeln und den elastischen Verschiebungen ab.
 - Anstellwinkel und Klappenwinkel zählen zu den *Konfigurationsparametern*, die in der Matrix $[u_K]$ zusammengefasst werden.
 - Dann gilt:
$$[l_L^A] = [l_L^A([u_K], [u_L])]$$
 - Die aerodynamischen Lasten sind proportional zum Staudruck q_∞ der ungestörten Anströmung.

1.1 Grundgleichungen

- Im Rahmen der linearen Aeroelastik werden die Werte der Konfigurationsparameter und die elastischen Verschiebungen als klein vorausgesetzt.
- Dann hängen die aerodynamischen Lasten näherungsweise linear von den Konfigurationsparametern und den elastischen Verschiebungen ab:

$$\left[l_L^A \left([u_K], [u_L] \right) \right] = q_\infty \left([q_L^0] + [Q_{LK}] [u_K] + [Q_{LL}] [u_L] \right)$$

- Die ersten beiden Terme auf der rechten Seite beschreiben die aerodynamischen Lasten am starren Flügel:

$$\left[l_L^{RA} \right] = q_\infty \left([q_L^0] + [Q_{LK}] [u_K] \right)$$

1.1 Grundgleichungen

- Der erste Term enthält die Lasten infolge der Wölbung der Skelettlinie.
 - Der zweite Term enthält die Lasten infolge des Anstellwinkels und der Klappenausschläge.
- Der dritte Term auf der rechten Seite beschreibt die *elastischen Inkremente*:

$$\left[l_L^{EA} \right] = q_\infty \left[Q_{LL} \right] \left[u_L \right]$$

- Die elastischen Inkremente beschreiben den Einfluss der Verformung des Flügels auf die Lasten.

1.1 Grundgleichungen

- Aerodynamische Lasten am verformten Flügel:
 - Bei gegebenen Konfigurationsparametern werden zunächst die elastischen Verschiebungen berechnet.
 - Dafür muss die Gleichgewichtsgleichung gelöst werden:

$$[K_{LL}][u_L] = [l_L^0] + q_\infty \left([q_L^0] + [Q_{LK}][u_K] + [Q_{LL}][u_L] \right)$$

- Die Gleichung kann direkt oder iterativ gelöst werden.
- Direkte Lösung:

$$\left([K_{LL}] - q_\infty [Q_{LL}] \right) [u_L] = [l_L^0] + q_\infty \left([q_L^0] + [Q_{LK}][u_K] \right)$$

1.1 Grundgleichungen

- Die aerodynamische Matrix $[Q_{LL}]$ ist in der Regel voll besetzt. Daher kann die direkte Lösung sehr aufwändig sein, wenn die Anzahl der Freiheitsgrade des Finite-Elemente-Modells groß ist.
- Iterative Lösung:
 - Startwert: $[K_{LL}][u_L^{(0)}] = [l_L^0] + q_\infty \left([q_L^0] + [Q_{LK}][u_K] \right)$
 - Iteration: $[K_{LL}][u_L^{(n+1)}] = [l_L^0] + q_\infty \left([q_L^0] + [Q_{LK}][u_K] + [Q_{LL}][u_L^{(n)}] \right)$
 - Nach dem Banachschen Fixpunktsatz konvergiert die Iteration, wenn alle Eigenwerte der Matrix

$$q_\infty [K_{LL}]^{-1} [Q_{LL}]$$
 kleiner 1 sind.

1.1 Grundgleichungen

- Die iterative Lösung ist günstiger, wenn das Finite-Elemente-Modell eine große Anzahl von Freiheitsgraden hat.
 - Wenn sich der Staudruck dem Staudruck q_D , bei dem Divergenz auftritt, annähert, nimmt die Anzahl der benötigten Iterationen stark zu.
- Wenn die elastischen Verschiebungen berechnet sind, lassen sich die aerodynamischen Lasten leicht aus

$$[l_L^A] = q_\infty \left([q_L^0] + [Q_{LK}][u_K] + [Q_{LL}][u_L] \right)$$

ermitteln.

- Spannungen und Schnittlasten können wie bei einer gewöhnlichen Finite-Elemente-Analyse aus den Verschiebungen berechnet werden.

1.1 Grundgleichungen

- Statische Divergenz:

- Statische Divergenz tritt auf, wenn die Gleichgewichtsgleichung keine eindeutige Lösung hat.
- Das ist der Fall, wenn die homogene Gleichung

$$([\mathbf{K}_{LL}] - q_{\infty}[\mathbf{Q}_{LL}])[\mathbf{u}_L] = [\mathbf{0}]$$

nicht-triviale Lösungen hat.

- Die homogene Gleichung stellt ein lineares Eigenwertproblem dar.
- Da die aerodynamische Matrix $[\mathbf{Q}_{LL}]$ nicht symmetrisch ist, können auch komplexe Eigenwerte auftreten.

1.1 Grundgleichungen

- Physikalische Bedeutung haben nur die positiven reellen Eigenwerte.
- Der niedrigste positive reelle Eigenwert gibt den Staudruck q_D an, bei dem erstmals statische Divergenz auftritt.
- Querruderwirksamkeit:
 - Aus den aerodynamischen Lasten ergibt sich ein resultierendes Moment um die x -Achse.
 - Ein kleiner Querruderausschlag η_Q führt zu einer Änderung

$$\Delta M_x = \frac{\partial M_x}{\partial \eta_Q} \eta_Q$$

des Moments.

1.1 Grundgleichungen

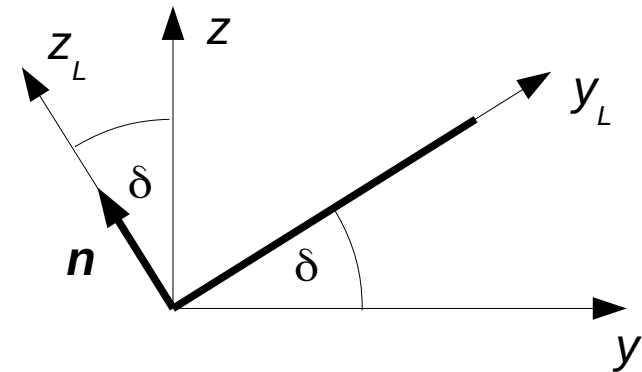
- Der Einfluss der Verformung auf die Ruderwirksamkeit kann durch Vergleich der Momentenänderung ΔM_x^E beim elastischen Flügel mit der Momentenänderung ΔM_x^R beim starren Flügel beurteilt werden.
- Der *Ruderwirkungsfaktor* ist definiert durch

$$\eta_R = \frac{\Delta M_x^E}{\Delta M_x^R} = \frac{\partial M_x^E / \partial \eta_Q}{\partial M_x^R / \partial \eta_Q} .$$

- Ruderumkehr tritt auf für $\eta_R < 0$.

1.2 Aerodynamische Lasten

- Die aerodynamischen Kräfte können mit dem Wirbelgitterverfahren berechnet werden.
- Geometrie einer Auftriebsfläche:
 - Im Allgemeinen ist die Auftriebsfläche um einen Winkel δ gegenüber der xy -Ebene geneigt.
 - Das lokale Koordinatensystem der Auftriebsfläche besteht aus der x -Achse, der y_L -Achse und der z_L -Achse.



1.2 Aerodynamische Lasten

- Abwind:
 - Im lokalen Koordinatensystem gilt für den Abwind:

$$w_L = \frac{\mathbf{w} \cdot \mathbf{n}}{v_\infty} = \frac{\partial \zeta_S}{\partial x} - \alpha \mathbf{e}_z \cdot \mathbf{n}$$

- Die Funktion $\zeta_S(x, y_L)$ beschreibt die Skelettfäche des verformten Flügels.
- Am Kontrollpunkt mit den Koordinaten \mathbf{x}_C gilt:

$$\zeta_S(\mathbf{x}_C) = \zeta_S^R(\mathbf{x}_C) + \sum_k \zeta_S^k(\mathbf{x}_C) \eta_k + \mathbf{n} \cdot \mathbf{u}_C$$

1.2 Aerodynamische Lasten

- Die Funktion ξ_S^R beschreibt die Skelettfläche des starren Flügels ohne Klappenausschlag.
- Die Funktionen ξ_S^k beschreiben die Änderung der Skelettfläche des starren Flügels, wenn die k -te Klappe den Ausschlag 1 hat.
- Der Vektor \mathbf{u}_C ist der Vektor der elastischen Verschiebung am Kontrollpunkt.
- Damit gilt für den Abwind am n -ten Kontrollpunkt:

$$w_{Ln} = \frac{\partial \xi_S^R}{\partial x}(\mathbf{x}_{Cn}) + \sum_k \frac{\partial \xi_S^k}{\partial x}(\mathbf{x}_{Cn}) \eta_k - \mathbf{e}_z \cdot \mathbf{n} \alpha + \frac{\partial(\mathbf{n} \cdot \mathbf{u}_{Cn})}{\partial x}$$

1.2 Aerodynamische Lasten

- Mit den folgenden Matrizen lassen sich die Gleichungen übersichtlich schreiben:

$$[w]_L = \begin{bmatrix} w_{L1} \\ \vdots \\ w_{LN} \end{bmatrix}, \quad [w_0]_L = \begin{bmatrix} \partial \zeta_S^R / \partial x(\mathbf{x}_{C1}) \\ \vdots \\ \partial \zeta_S^R / \partial x(\mathbf{x}_{CN}) \end{bmatrix}, \quad [w^E]_L = \begin{bmatrix} \partial(\mathbf{n} \cdot \mathbf{u}_{C1}) / \partial x \\ \vdots \\ \partial(\mathbf{n} \cdot \mathbf{u}_{CN}) / \partial x \end{bmatrix}$$

$$[u_K] = \begin{bmatrix} \alpha \\ \eta_1 \\ \vdots \\ \eta_K \end{bmatrix}, \quad [D_K^1]_L = \begin{bmatrix} -\mathbf{e}_z \cdot \mathbf{n} & \frac{\partial \zeta_S^1}{\partial x}(\mathbf{x}_{C1}) & \cdots & \frac{\partial \zeta_S^K}{\partial x}(\mathbf{x}_{C1}) \\ \vdots & \vdots & \ddots & \vdots \\ -\mathbf{e}_z \cdot \mathbf{n} & \frac{\partial \zeta_S^1}{\partial x}(\mathbf{x}_{CN}) & \cdots & \frac{\partial \zeta_S^K}{\partial x}(\mathbf{x}_{CN}) \end{bmatrix}$$

1.2 Aerodynamische Lasten

- Dann gilt für den Abwind:

$$[w]_L = [w_0]_L + [D_K^1]_L [u_K] + [w^E]_L$$

- Wirbelstärken:

- Die Matrix

$$[\Gamma] = \frac{1}{v_\infty} [\Gamma_1 \quad \dots \quad \Gamma_N]^T$$

der Wirbelstärken ist Lösung des linearen Gleichungssystems

$$[w]_L = [C][\Gamma]$$

- Die Matrix $[C]$ wird durch die Gleichungen des Wirbelgitterverfahrens definiert.

1.2 Aerodynamische Lasten

- Kräfte:
 - Für die Kraft auf einen Hufeisenwirbel gilt:

$$L_n = \rho v_\infty |\mathbf{e}_x \times \mathbf{r}_{ABn}| \Gamma_n = 2 q_\infty \Delta y_{Ln} \Gamma_n / v_\infty$$

- Die Kraft ist senkrecht zur Auftriebsfläche und greift in der Mitte zwischen den Eckpunkten A und B des Hufeisens an.
- Mit der Matrix

$$[G] = 2 \begin{bmatrix} \Delta y_{L1} & \cdots & 0 \\ \vdots & \ddots & \vdots \\ 0 & \cdots & \Delta y_{LN} \end{bmatrix}$$

gilt für die Kraftmatrix: $[l_\Gamma^A]_L = q_\infty [G][\Gamma]$

1.2 Aerodynamische Lasten

- Diese Matrix enthält für jedes Panel die in der Mitte zwischen den Eckpunkten des Hufeisens angreifende Kraft, die senkrecht auf der Auftriebsfläche steht.
- Einsetzen der Gleichungen für die Wirbelstärken und den Abwind ergibt:

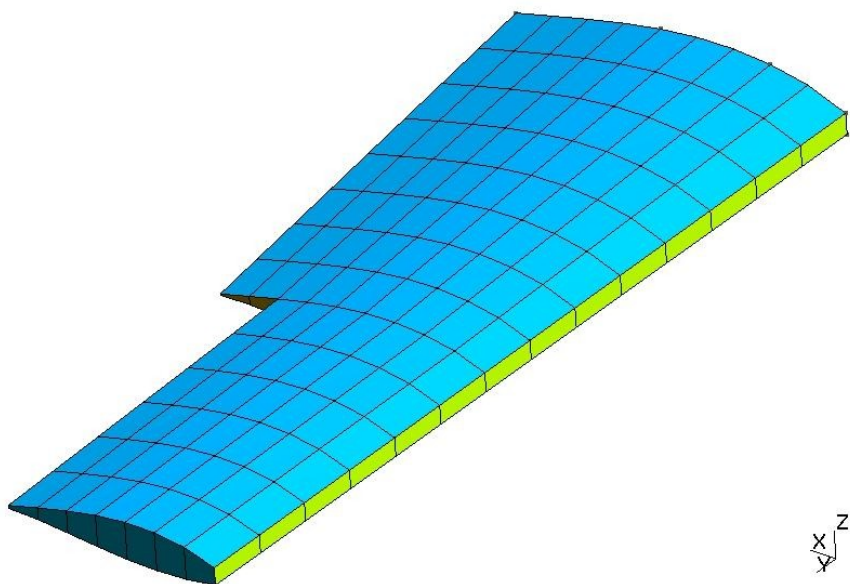
$$[l_{\Gamma}^A]_L = q_{\infty} [G][C]^{-1} \left([w_0]_L + [D_K^1]_L [u_K] + [w^E]_L \right)$$

1.3 Splines

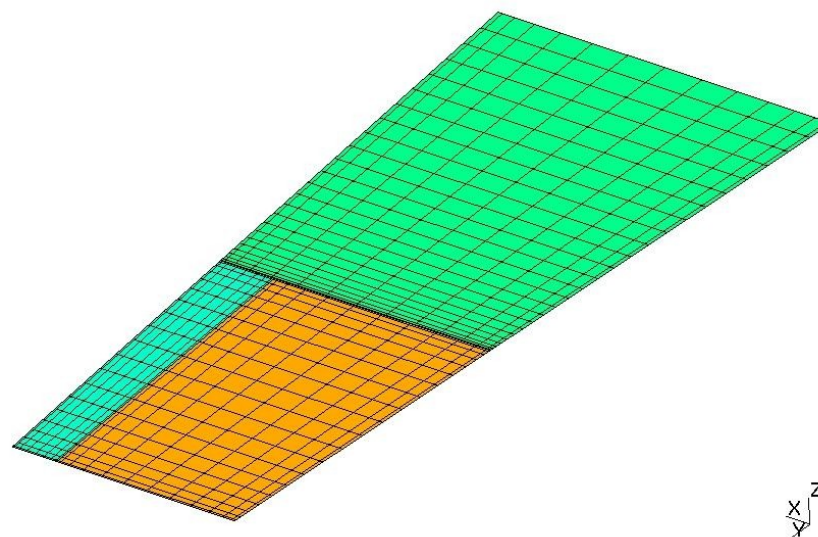
- Mithilfe so genannter Splines erfolgt
 - die Berechnung des Abwinds $[w^E]_L$ an den Kontrollpunkten der Panels aus den Verschiebungen $[u]$ der Strukturknoten
 - die Umrechnung der Lasten $[l_\Gamma^A]_L$ auf den Panels in die Lasten $[l^A]$ an den Strukturknoten
- Dabei stellt sich das Problem, dass sich die Geometrien und die Diskretisierungen des Strukturmodells und des aerodynamischen Modells stark unterscheiden.

1.3 Splines

Strukturmodell:



Aerodynamisches Modell:

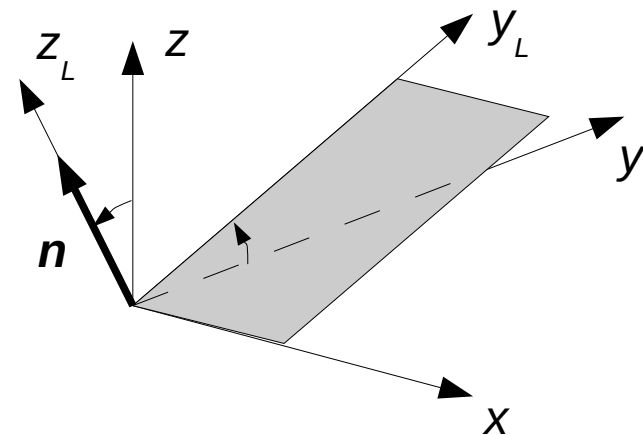


1.3 Splines

- Zur Lösung dieser Aufgabe gibt es verschiedene Methoden.
- Sie hängen ab
 - von der Art des Modells für die Struktur
 - von der Art des Modells für die Aerodynamik
 - von den Qualitätsanforderungen
- Eine Methode, die für die Kopplung der Methode der finiten Elemente mit dem Wirbelgitterfahren geeignet ist, ist der Torsions-Biege-Spline, der im Folgenden behandelt wird.

1.3 Splines

- Annahme:
 - Die Auftriebsflächen verhalten sich wie Balken, d. h. die Balkenachse erfährt eine Biegung, und zusätzlich tritt eine Torsion um die Balkenachse auf.
- Kinematik:
 - Die Kinematik wird im lokalen xy_Lz_L -Koordinatensystem der Auftriebsfläche beschrieben.



1.3 Splines

- Für die Aerodynamik wichtig ist die Verschiebung $u_n = \mathbf{n} \cdot \mathbf{u}$ senkrecht zur xy_L -Ebene.
- Sie setzt sich zusammen aus einer Biegung in z_L -Richtung und einer Torsion um die y_L -Achse:

$$u_n(x, y_L) = b(y_L) - x \theta(y_L)$$

- Die noch unbekannt Funktionen $b(y_L)$ und $\theta(y_L)$ beschreiben die Biegung in z_L -Richtung sowie die Drehung um die y_L -Achse.

1.3 Splines

- Ansatz für die Funktionen:
 - Das y_L -Intervall der Auftriebsfläche wird in M Segmente unterteilt. Die Segmente haben die Eckpunkte $y_{L0}, y_{L1}, \dots, y_{LM}$.
 - Der Ansatz für die zu bestimmenden Funktionen lautet:

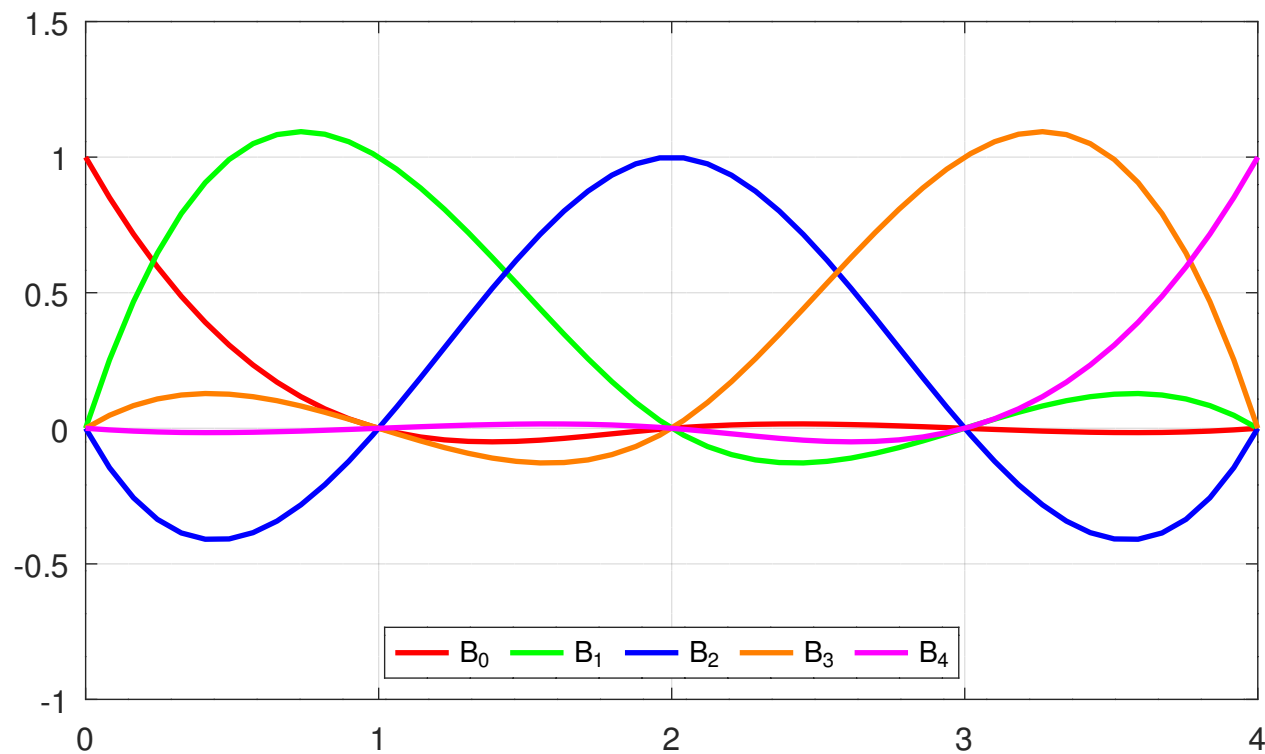
$$b(y_L) = \sum_{m=0}^M B_m(y_L) b_m, \quad \theta(y_L) = \sum_{m=0}^M B_m(y_L) \theta_m$$

- Die Funktionen $B_m(y_L)$ bilden eine Basis der kubischen Splines über den Segmenten.
- Für sie soll gelten:

$$B_m(y_{Lm}) = 1, \quad B_l(y_{Lm}) = 0 \quad \text{für } l \neq m$$

1.3 Splines

- Funktionen B_m der Spline-Basis:



1.3 Splines

- Mit den Matrizen

$$[B(y_L)] = [B_0(y_L) \quad \cdots \quad B_M(y_L)], \quad [b] = [b_0 \quad \cdots \quad b_M]^T$$

$$[\theta] = [\theta_0 \quad \cdots \quad \theta_M]^T$$

gilt: $u_n(x, y_L) = [B(y_L)]([b] - x[\theta])$

- Bestimmung der Koeffizienten:

- Seien $\mathbf{u}_k = \mathbf{u}(x_k, y_{Lk}, z_{Lk})$ die Verschiebungsvektoren an den K Strukturknoten mit den Koordinaten (x_k, y_{Lk}, z_{Lk}) .
- Die Koeffizientenmatrizen $[b]$ und $[\theta]$ werden so bestimmt, dass gilt:

$$\sum_k (\mathbf{n} \cdot \mathbf{u}_k - u_n(x_k, y_{Lk}))^2 = \text{Min.}$$

1.3 Splines

- Mit den Matrizen

$$[u^S]_L = \begin{bmatrix} \mathbf{n} \cdot \mathbf{u}_1 \\ \vdots \\ \mathbf{n} \cdot \mathbf{u}_K \end{bmatrix}, \quad [h] = \begin{bmatrix} [b] \\ [\theta] \end{bmatrix} \quad \text{und} \quad [S^S]_{Lh} = \begin{bmatrix} [B(y_{L1})] & -x_1 [B(y_{L1})] \\ \vdots & \vdots \\ [B(y_{LK})] & -x_K [B(y_{LK})] \end{bmatrix}$$

lautet diese Bedingung:

$$\left([u^S]_L - [S^S]_{Lh} [h] \right)^T \left([u^S]_L - [S^S]_{Lh} [h] \right) = \text{Min.}$$

- Für die Lösung dieses *Ausgleichsproblems* gilt:

$$[S^S]_{Lh}^T [S^S]_{Lh} [h] = [S^S]_{Lh}^T [u^S]_L$$

1.3 Splines

- Für eine stabile Lösung darf M nicht größer als die Anzahl der Strukturknoten mit unterschiedlichen y_L -Koordinaten gewählt werden.
- Die Lösung lässt sich numerisch stabil aus der QR-Zerlegung

$$[S^S]_{Lh} = [Q_S][R_S]$$

berechnen. Dabei ist $[Q_S]$ eine orthonormale Matrix und $[R_S]$ eine positiv definite obere Dreiecksmatrix.

- Aus $[R_S]^T [Q_S]^T [Q_S][R_S][h] = [R_S]^T [Q_S]^T [u^S]_L$

folgt: $[h] = [R_S]^{-1} [Q_S]^T [u^S]_L$

1.3 Splines

- Ist $[a^S]$ eine Boolesche Matrix, die die für den Spline benötigten Strukturverschiebungen aus der Matrix $[u]$ aller Strukturverschiebungen extrahiert, und

$$[P]_L = \begin{bmatrix} [\mathbf{n}]^T & \cdots & [\mathbf{0}]^T \\ \vdots & \ddots & \vdots \\ [\mathbf{0}]^T & \cdots & [\mathbf{n}]^T \end{bmatrix} \quad \text{mit} \quad [\mathbf{n}] = \begin{bmatrix} n_x \\ n_y \\ n_z \end{bmatrix}, \quad [\mathbf{0}] = \begin{bmatrix} 0 \\ 0 \\ 0 \end{bmatrix}$$

die Projektionsmatrix senkrecht zur Auftriebsfläche, dann gilt:

$$[u^S]_L = [P]_L [a^S] [u]$$

$$[h] = [R_S]^{-1} [Q_S]^T [P]_L [a^S] [u] = [S]_h [u]$$

1.3 Splines

- Die Spline-Matrix

$$[S]_h = [R_S]^{-1} [Q_S]^T [P]_L [a^S]$$

verknüpft die Spline-Koeffizienten $[h]$ mit den Strukturverschiebungen $[u]$.

- Abwind an den Kontrollpunkten:
 - Für den Beitrag der elastischen Verschiebungen zum Abwind am n -ten Kontrollpunkt gilt:

$$w_n^E = \frac{\partial (\mathbf{n} \cdot \mathbf{u}_{Cn})}{\partial x} = \frac{\partial u_n}{\partial x} (x_{Cn}, y_{Ln}) = -[B(y_{LCn})][\theta]$$

1.3 Splines

- Mit der Matrix

$$[D^1]_{Lh} = \begin{bmatrix} [0] & -[B(y_{C1})] \\ \vdots & \vdots \\ [0] & -[B(y_{CN})] \end{bmatrix}$$

folgt: $[w^E]_L = [D^1]_{Lh} [h] = [D^1]_{Lh} [S]_h [u]$

- Übertragung der aerodynamischen Kräfte:
 - Das Wirbelgitterverfahren liefert die Kräfte an den Mittelpunkten der Hufeisenwirbel.
 - Diese Kräfte müssen auf die Knotenpunkte des Finite-Elemente-Modells der Struktur übertragen werden.

1.3 Splines

- Für die virtuelle Leistung der aerodynamischen Kräfte muss gelten:

$$\tilde{P}^A = [\tilde{v}_\Gamma]_L^T [l_\Gamma^A]_L = [\tilde{v}]^T [l^A]$$

- Mit der Matrix

$$[S^\Gamma]_{Lh} = \begin{bmatrix} [B(y_{L\Gamma 1})] & -x_{\Gamma 1} [B(y_{L\Gamma 1})] \\ \vdots & \vdots \\ [B(y_{L\Gamma N})] & -x_{\Gamma N} [B(y_{L\Gamma N})] \end{bmatrix}$$

gilt für die virtuellen Geschwindigkeiten $[\tilde{v}_\Gamma]_L$ an den Mittelpunkten der Hufeisenwirbel:

$$[\tilde{v}_\Gamma]_L = [S^\Gamma]_{Lh} [\tilde{h}] = [S^\Gamma]_{Lh} [S]_h [\tilde{v}]$$

1.3 Splines

- Einsetzen in den Ausdruck für die virtuelle Leistung ergibt:

$$[\tilde{v}]^T [S]_h^T [S^\Gamma]_{Lh}^T [l_\Gamma^A]_L = [\tilde{v}]^T [l^A]$$

- Damit diese Beziehung für beliebige virtuelle Geschwindigkeiten $[\tilde{v}]$ gilt, muss gelten:

$$[l^A] = [S]_h^T [S^\Gamma]_{Lh}^T [l_\Gamma^A]_L$$

- Aerodynamische Matrizen:

- Mit dem Abwind $[w]_L = [w_0]_L + [D_K^1]_L [u_K] + [D^1]_{Lh} [S]_h [u]$

gilt für die aerodynamischen Kräfte auf der Auftriebsfläche:

$$[l_\Gamma^A]_L = q_\infty [G] [C]^{-1} \left([w_0]_L + [D_K^1]_L [u_K] + [D^1]_{Lh} [S]_h [u] \right)$$

1.3 Splines

- Für die Kräfte auf die Struktur folgt:

$$[l^A] = q_\infty [S]_h^T [S^\Gamma]_{Lh}^T [G] [C]^{-1} \left([w_0]_L + [D_K^1]_L [u_K] + [D^1]_{Lh} [S]_h [u] \right)$$

- Mit den aerodynamischen Matrizen

$$[q^0] = [S]_h^T [S^\Gamma]_{Lh}^T [G] [C]^{-1} [w_0]_L$$

$$[Q_K] = [S]_h^T [S^\Gamma]_{Lh}^T [G] [C]^{-1} [D_K^1]_L$$

$$[Q] = [S]_h^T [S^\Gamma]_{Lh}^T [G] [C]^{-1} [D^1]_{Lh} [S]_h$$

gilt:

$$[l^A] = q_\infty \left([q^0] + [Q_K] [u_K] + [Q] [u] \right)$$

1.4 Beispiel

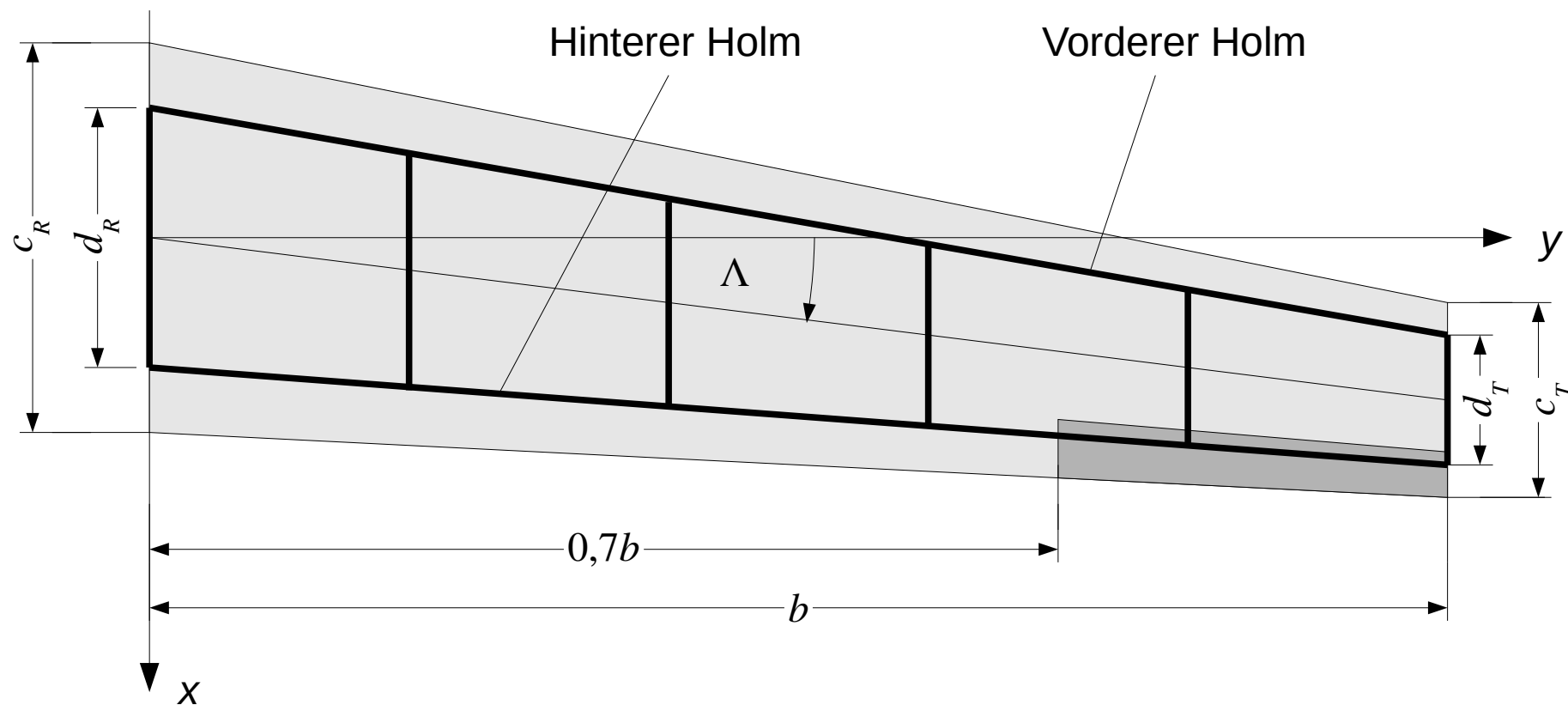
- Das Beispiel zeigt
 - die Arbeitsweise der Splines
 - den Einfluss der Pfeilung auf die statische Divergenz
 - den Einfluss der Verformung des Tragflügels auf die Druckverteilung
 - den Einfluss der Verformung auf Auftriebsbeiwert und Querruderwirksamkeit
 - den Einfluss der Pfeilung auf Auftriebsbeiwert und Querruderwirksamkeit

1.4 Beispiel

- Modellierung
 - Die Struktur des Flügels wird durch ein Balkenmodell abgebildet.
 - Das Balkenmodell besteht aus dem vorderen Holm, dem hinteren Holm und Rippen zwischen den Holmen.
- Daten:
 - Profil: NACA 540xx
 - Anstellwinkel: 2°
 - Pfeilungswinkel: -10° , 0° und 10°
 - Dichte der Luft: $1,21 \text{ kg/m}^3$

1.4 Beispiel

- Geometrie:



1.4 Beispiel

- Abmessungen:

- $b = 10 \text{ m}$
- $c_R = 3 \text{ m}$, $c_T = 1,5 \text{ m}$
- $d_R = 2 \text{ m}$, $d_T = 1 \text{ m}$
- Klappentiefenverhältnis des Querruders $\kappa = 0,2$

- Materialdaten:

- $E = 70000 \text{ MPa}$
- $\nu = 0,34$
- $\rho = 2700 \text{ kg/m}^3$

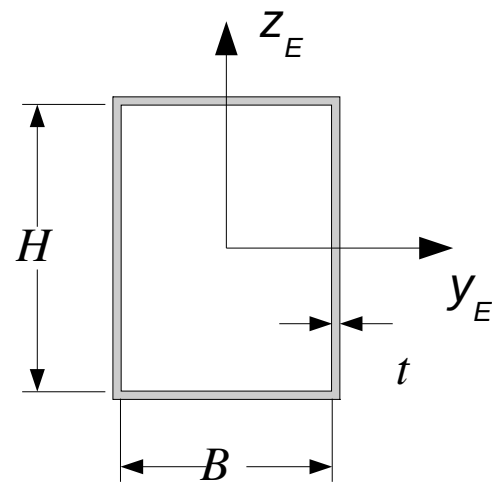
- Diskretisierung:

- Elementlänge ca. $0,5 \text{ m}$
- Innenflügel: 20 Panels in x -Richtung, 25 Panels in y -Richtung (gleichmäßig)
- Außenflügel: 24 Panels in x -Richtung, 20 Panels in y -Richtung
- Querruder: 6 Panels in x -Richtung

1.4 Beispiel

- Balkenquerschnitte:

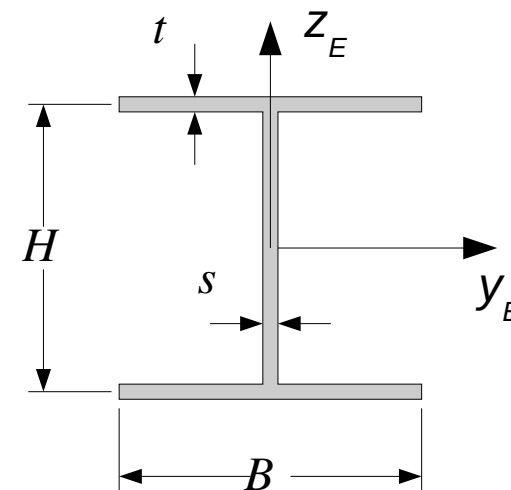
Holme:



$$B = 200 \text{ mm}, H = 200 \text{ mm}$$

$$t = 1 \text{ mm}$$

Rippen:



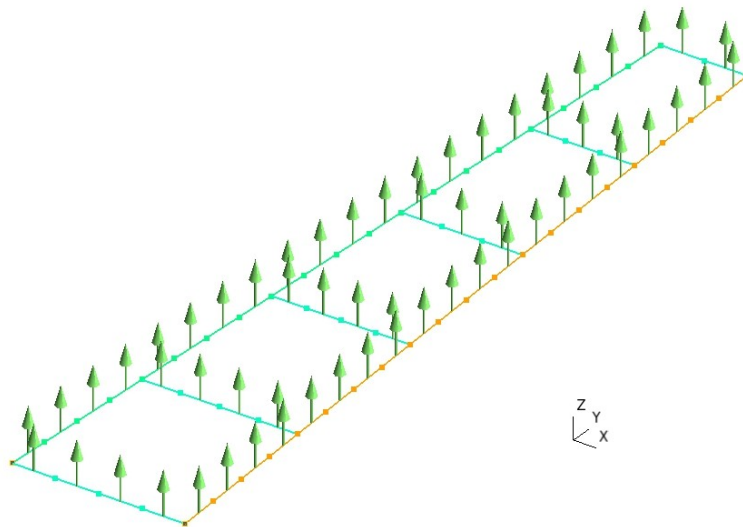
$$B = 100 \text{ mm}, H = 200 \text{ mm}$$

$$t = 2 \text{ mm}, s = 2 \text{ mm}$$

1.4 Beispiel

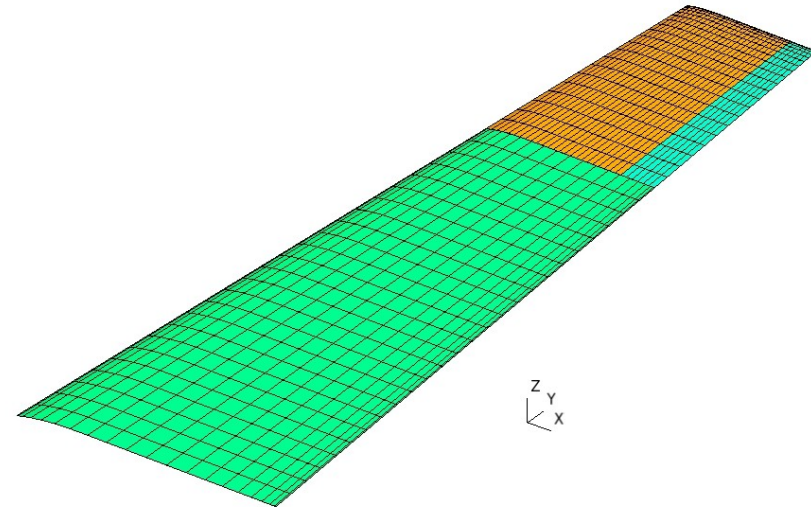
- Diskretisierung:

Strukturmodell



Pfeile zeigen die z_E -Achse.

Aerodynamisches Modell

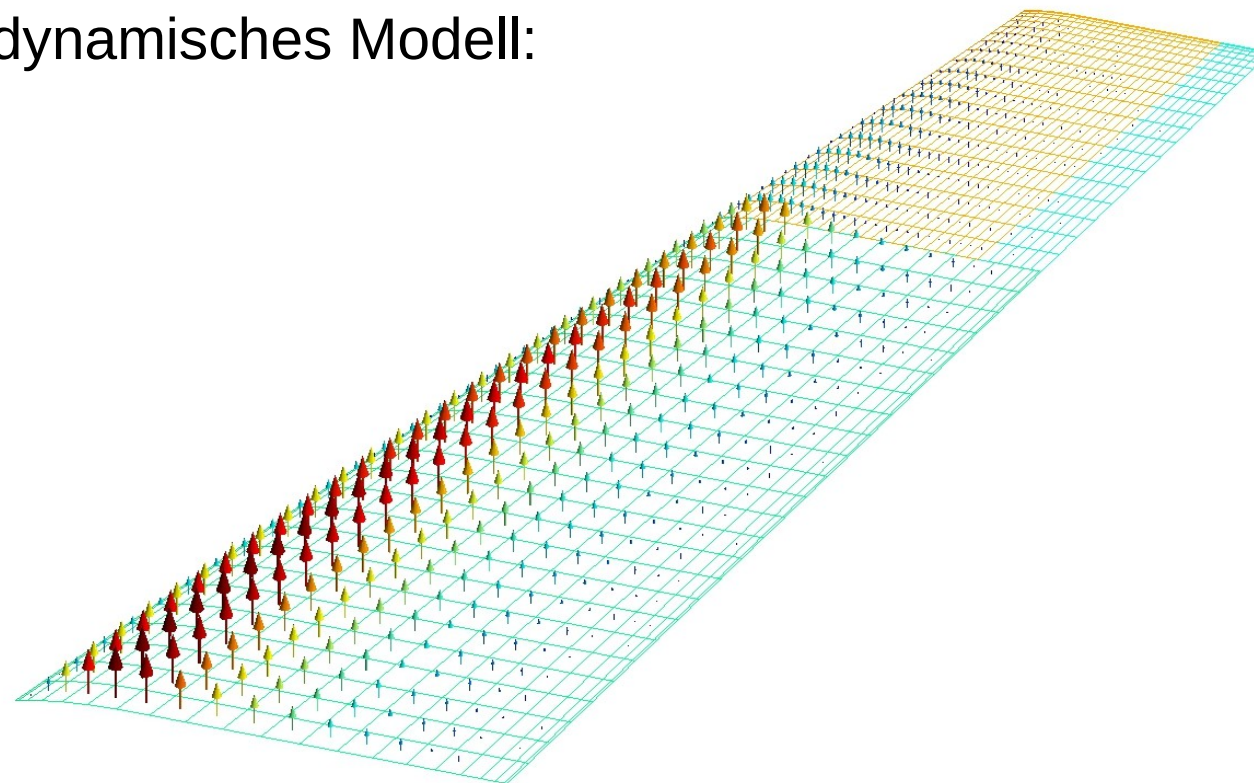


1.4 Beispiel

- Splines:
 - Betrachtet wird der Flügel mit einem Pfeilungswinkel von 10° bei einer Anströmgeschwindigkeit von 40 m/s.
 - Die aus der Umströmung des starren Flügels resultierenden aerodynamischen Kräfte werden auf das Strukturmodell übertragen.
 - Anschließend werden die Verschiebungen des Strukturmodells infolge dieser Kräfte berechnet und auf das aerodynamische Modell übertragen.

1.4 Beispiel

- Vergleich der Kräfte:
 - Aerodynamisches Modell:



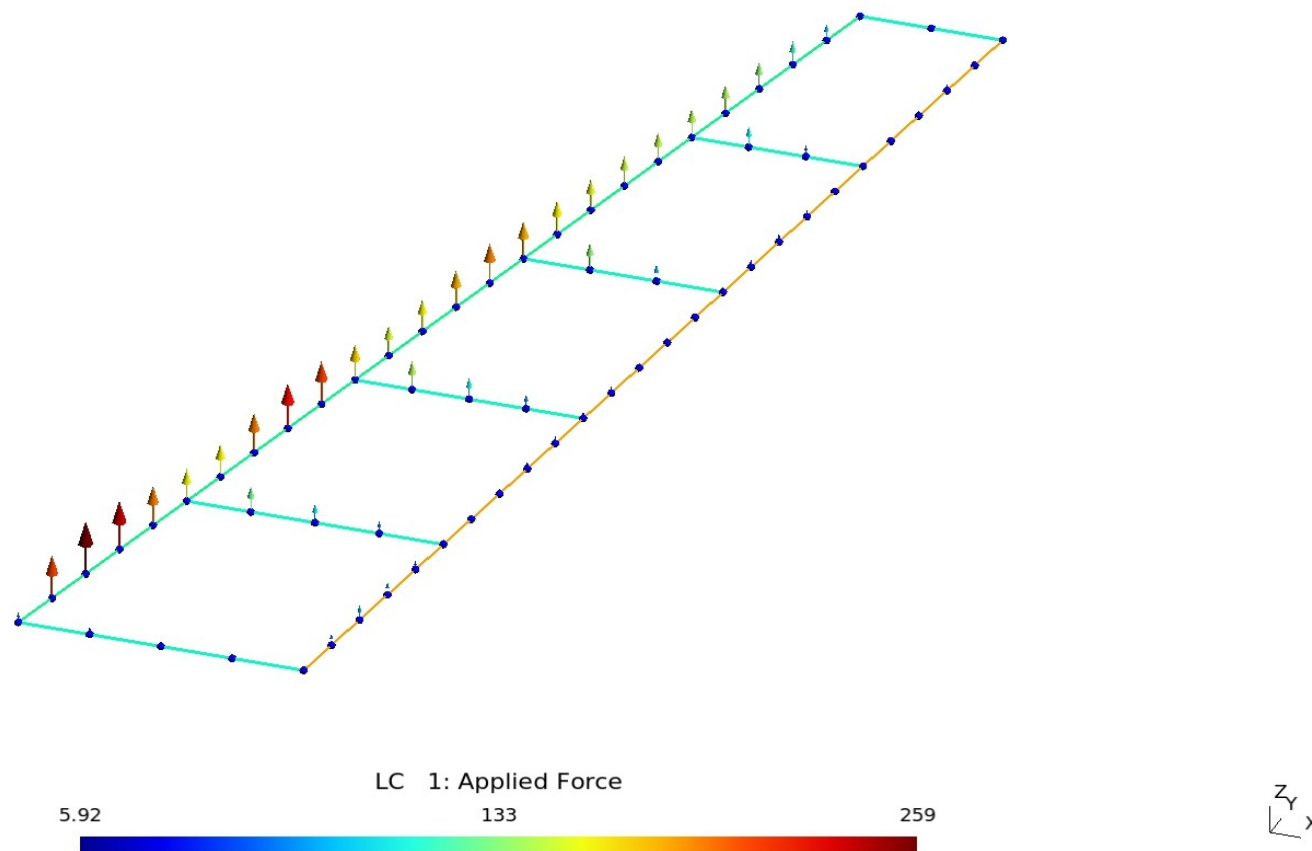
Config. 1: $\alpha = 2.0^\circ$, $\eta = 0.0^\circ$, $v = 40.0$ m/s: Force

0.00122 14 27.9

z
 y
 x

1.4 Beispiel

- Strukturmodell:



1.4 Beispiel

- Resultierende:

Load resultants of aerodynamic component:

Config. 1: $\alpha = 2.0^\circ$, $\eta = 0.0^\circ$, $v = 40.0$ m/s

$F = [0.000e+00, 0.000e+00, 6.073e+00]$ kN

$M = [2.661e+01, -1.986e+00, 0.000e+00]$ kNm

Config. 2: $\alpha = 2.0^\circ$, $\eta = 5.0^\circ$, $v = 40.0$ m/s

$F = [0.000e+00, 0.000e+00, 7.059e+00]$ kN

$M = [3.393e+01, -3.264e+00, 0.000e+00]$ kNm

Load resultants of solid component:

Loadcase 1:

$F = [0.000e+00, 0.000e+00, 6.073e+00]$ kN

$M = [2.661e+01, -1.986e+00, 0.000e+00]$ kNm

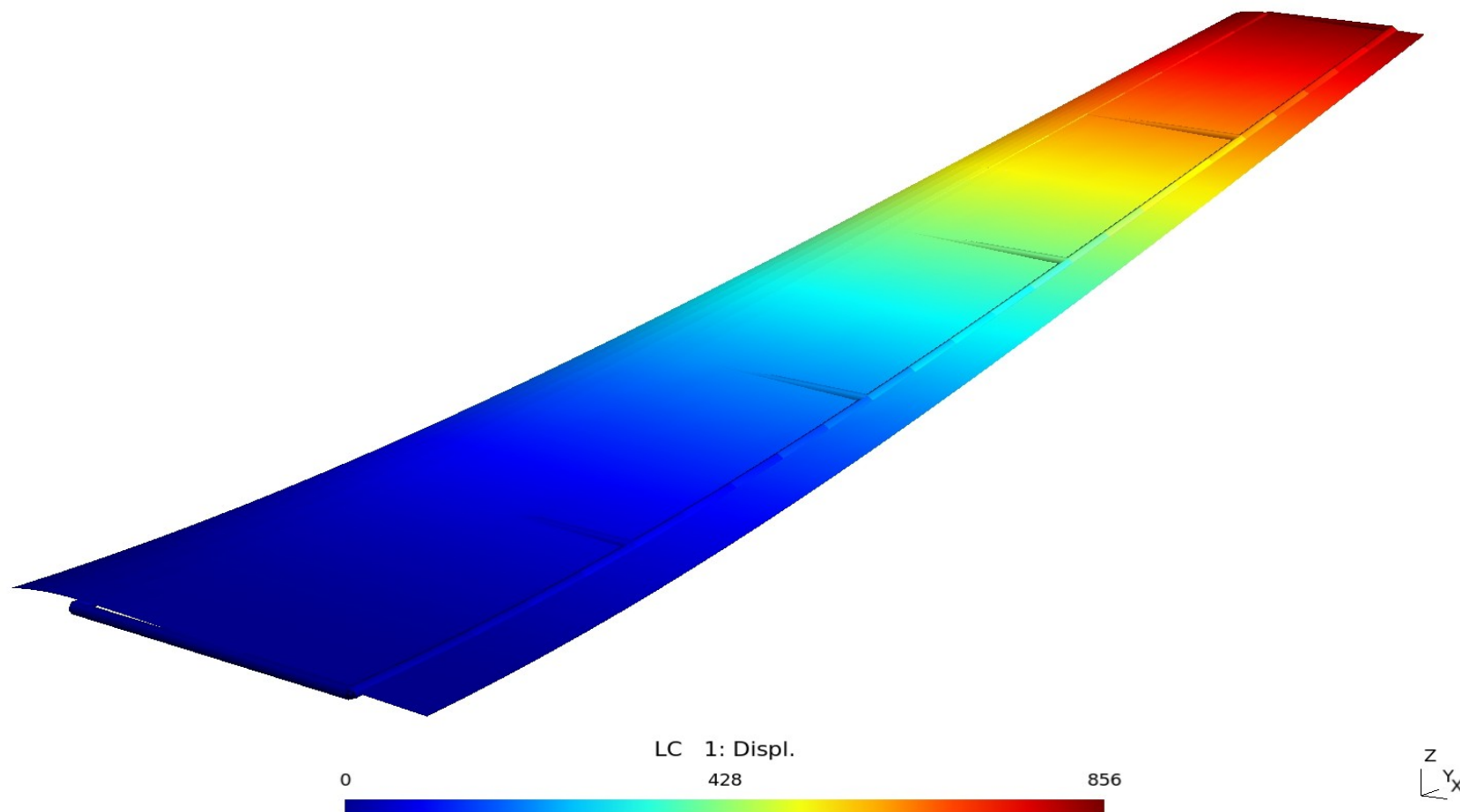
Loadcase 2:

$F = [0.000e+00, 0.000e+00, 7.059e+00]$ kN

$M = [3.393e+01, -3.264e+00, 0.000e+00]$ kNm

1.4 Beispiel

- Vergleich der Verschiebungen:



1.4 Beispiel

- Bewertung:
 - Die aus dem aerodynamischen Druck resultierenden Kräfte werden durch die Splines korrekt auf die Struktur übertragen.
 - Die Verschiebungen der Struktur werden durch die Splines korrekt auf das aerodynamische Netz übertragen.

1.4 Beispiel

- Statische Divergenz:
 - Der kleinste positive reelle Eigenwert von

$$[K_{LL}][u_L] = q_\infty [Q_{LL}][u_L]$$

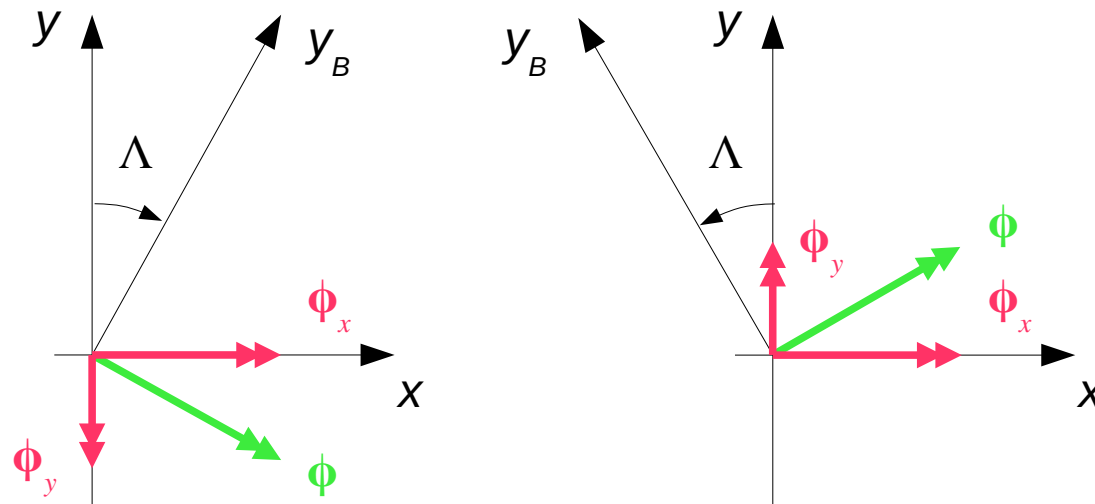
gibt den Staudruck an, bei dem statische Divergenz auftritt.

- In Abhängigkeit vom Pfeilungswinkel Λ ergeben sich folgende Werte:

Λ	-10°	0°	10°	
q_D	1,977	3,181	10,08	kPa
v_D	57,17	72,51	129,1	m/s

1.4 Beispiel

- Beim ungepfeilten Flügel steht die Balkenachse senkrecht zur Anströmrichtung. Der Biegewinkel hat keinen Einfluss auf den Anstellwinkel.
- Beim gepfeilten Flügel steht die Balkenachse schräg zur Anströmrichtung. Der Biegewinkel ändert den Anstellwinkel.



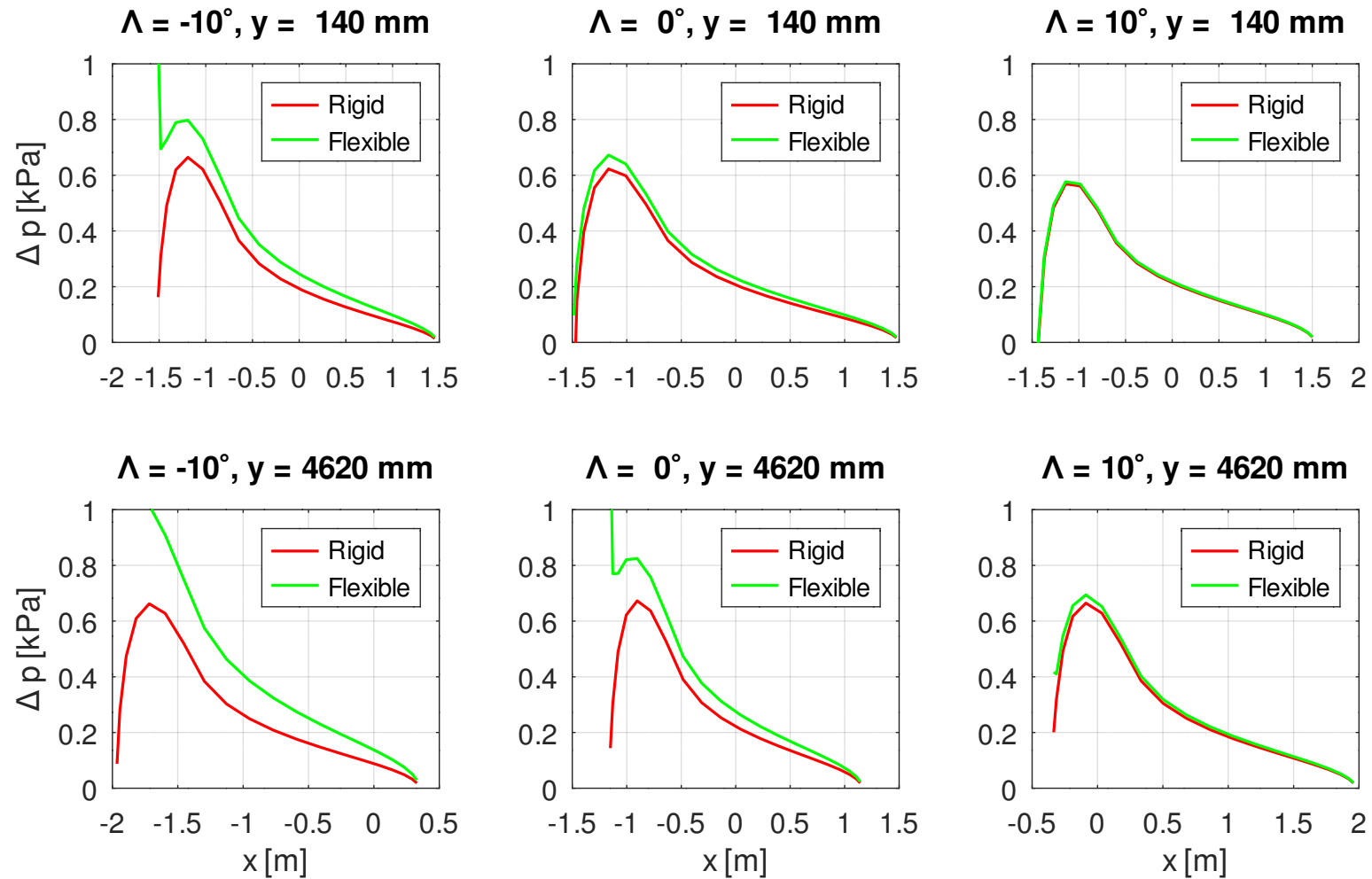
1.4 Beispiel

- Beim rückwärts gepfeilten Flügel (positiver Pfeilungswinkel) verkleinert der Beitrag des Biegewinkels den Anstellwinkel und wirkt deshalb stabilisierend.
- Beim vorwärts gepfeilten Flügel (negativer Pfeilungswinkel) vergrößert der Beitrag des Biegewinkels den Anstellwinkel und wirkt deshalb destabilisierend.

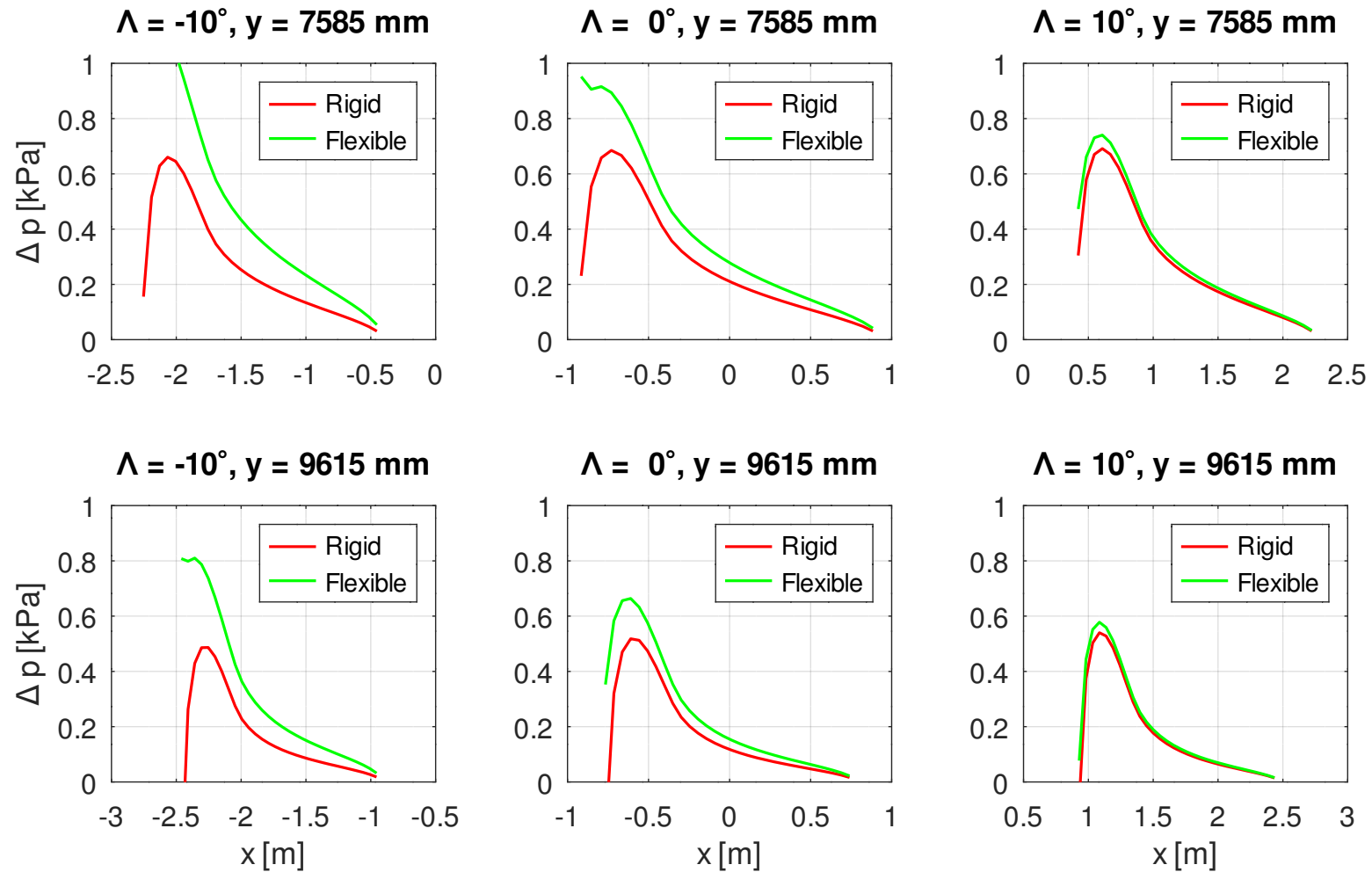
1.4 Beispiel

- Aeroelastische Analysen:
 - Folgende Analysen werden durchgeführt:
 - Berechnung der Druckverteilung ohne Querruderausschlag bei einer Geschwindigkeit von $v = 40$ m/s für alle drei Pfeilungswinkel und Vergleich mit dem starren Flügel
 - Berechnung von Auftriebsbeiwert und Ruderwirkungsfaktor in Abhängigkeit von der Geschwindigkeit für alle drei Pfeilungswinkel
 - Druckverteilungen:
 - Die folgenden beiden Seiten zeigen die Druckverteilungen in repräsentativen Flügelschnitten für die drei Pfeilungswinkel.
 - Dargestellt ist jeweils der Druck für den starren und den elastischen Flügel.

1.4 Beispiel



1.4 Beispiel

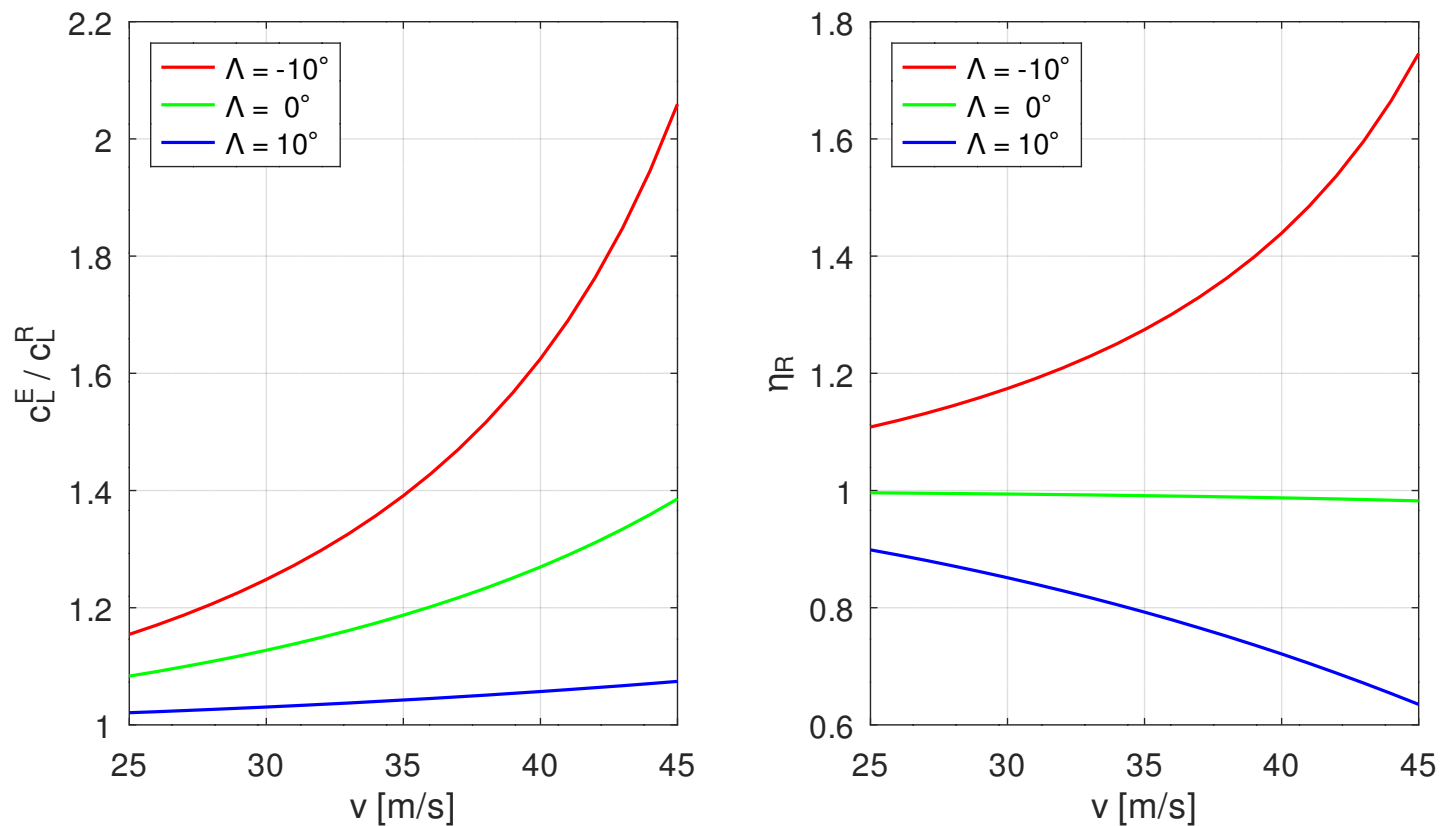


1.4 Beispiel

- Infolge der Torsion nimmt der Druck vor allem im äußeren Bereich des Flügels zu.
- Dieser Effekt ist beim vorwärts gepfeilten Flügel besonders ausgeprägt.

1.4 Beispiel

- Auftriebsbeiwert und Ruderwirkungsfaktor:



1.4 Beispiel

- Auftriebsbeiwert:

- Der Auftriebsbeiwert nimmt in allen drei Fällen mit zunehmender Anströmgeschwindigkeit zu.
- Ursache dafür ist die Torsion, die zu einer Vergrößerung des Anstellwinkels führt.
- Beim vorwärts gepfeilten Flügel wird dieser Effekt durch die Biegung verstärkt, während er beim rückwärts gepfeilten Flügel abgeschwächt wird.

1.4 Beispiel

- Ruderwirksamkeit:
 - Beim geraden und beim rückwärts gepfeilten Flügel nimmt die Ruderwirksamkeit mit zunehmender Geschwindigkeit ab.
 - Ursache dafür ist die durch den Ruderausschlag bewirkte den Anstellwinkel verkleinernde Torsion des Außenflügels.
 - Beim rückwärts gepfeilten Flügel führt die vergrößerte Biegung zu einer zusätzlichen Abnahme des Anstellwinkels.
 - Beim vorwärts gepfeilten Flügel nimmt die Ruderwirksamkeit mit zunehmender Geschwindigkeit zu.
 - Hier überwiegt der den Anstellwinkel vergrößernde Effekt der Biegung, die durch die ausgeschlagene Klappe vergrößert wird, den Effekt der Torsion.